

Evaluation of the Effect of Less Negatively Charged Amino Acid Substitution in Synthetic Tetramer Peptide S3 Derived from Horseshoe Crab Ambocyte on its Antibacterial Properties

Sakineh Bagh Beheshti¹ , Shahin Haddadian^{2*} , Akram Eidi¹, Leila Pishkar³, Hamzeh Rahimi⁴

¹ Dept of Biology, Islamic Azad University, Science and Research Branch, Tehran, Iran

² Dept of Nanotechnology, Dept of New Technologies Research, Pasteur Institute of Iran, Tehran, Iran

³ Dept of Biology, Faculty of Sciences, Islamic Azad University, Islamshahr Branch, Islamshahr, Iran

⁴ Dept of Molecular Medicine, New Technologies Research Group, Pasteur Institute of Iran, Tehran, Iran

Article Info

Article type:
Research article

Article History:

Received: 10 April 2021

Revised: 08 May 2021

Accepted: 29 June 2021

*** Correspondence to:**

Shahin Haddadian

Dept of Nanotechnology, Dept of
New Technologies Research,
Pasteur Institute of Iran, Tehran,
Iran

Email: hadadian@yahoo.com

A B S T R A C T

Introduction: The study of the effects of synthetic peptides with antibacterial properties can provide more effective antibiotics. This study designed, expressed, and investigated the Sushi 3 tetramer peptide. Subsequently, it was compared in terms of changing antibacterial properties with another Sushi3 tetramer peptide the aspartic acid and proline amino acids of which were replaced with glycine and serine amino acids.

Material & Methods: First, the mentioned Sushi3 tetramer peptide sequences were designed, constructed, and named Mer1 and Mer 2, respectively, and cloned separately into plasmid pET-26b (+) and finally transferred to *E.coli* BL21 host (DE3). After the expression of the peptides, the presence of peptides was confirmed by SDS-PAGE and Western blotting. Afterward, the antimicrobial activity of Mer1 and Mer 2 was evaluated and compared. Finally, the toxicity of the two tetramers made on the MDA-MB-231 cell line was evaluated and compared.

Findings: Mer1 and Mer 2 had similar protein expression, and the toxic effect of both peptides on the cell line was not significantly different. however, Mer 2 had more effective antimicrobial effects than Mer1 at the same concentrations.

Discussion & Conclusion: Evaluation of the effect of amino acid replacement with less negatively charge on increasing the antimicrobial activity of peptides is a suitable strategy. The above results increase the possibility of designing and producing antimicrobial peptides against antibiotic-resistant strains as the next generation of antibiotics.

Keywords: Antimicrobial peptides, Factor c, Horseshoe crab, Sushi3 tetramer peptide

➤ How to cite this paper

Bagh Beheshti S, Haddadian Sh, Eidi A, Pishkar L, Rahimi H. Evaluation of the Effect of Less Negatively Charged Amino Acid Substitution in Synthetic Tetramer Peptide S3 Derived from Horseshoe Crab Ambocyte on its Antibacterial Properties. Journal of Ilam University of Medical Sciences. November 2021;29(4): 103-116.



© The Author(s)

Publisher: Ilam University of Medical Sciences

ارزیابی تأثیر جایگزینی اسید آمینه‌هایی با بار منفی کمتر در پیتید تترامر سنتیک S3 مشتق از آمبوسيت خرچنگ نعل اسبي بر خاصيت ضد باكتريائي آن

سکينه باغ بهشتی^۱ , شاهين حدادايان^{۲*}، اکرم عيدی^۱، ليلا پيشكار^۳، حمزه رحيمی^۴

^۱ گروه زیست‌شناسی، دانشگاه آزاد اسلامی، واحد علوم و تحقیقات، تهران، ایران

^۲ گروه نانو بیوتکنولوژی، گروه تحقیقات فناوری های نوین، استیتو پاستور ایران، تهران، ایران

^۳ گروه زیست‌شناسی، دانشکده علوم، دانشگاه آزاد اسلامی، واحد اسلامشهر، اسلامشهر، ایران

^۴ گروه پزشکي مولکولي، گروه تحقیقات فناوری های نوین، استیتو پاستور ایران، تهران، ایران

چکیده

اطلاعات مقاله

نوع مقاله: پژوهشی

تاریخ دریافت: ۱۴۰۰/۰۱/۲۱

تاریخ داوری: ۱۴۰۰/۰۲/۱۸

تاریخ پذیرش: ۱۴۰۰/۰۴/۰۸

نویسنده مسئول:

شاهين حدادايان

گروه نانو بیوتکنولوژی، گروه

تحقیقات فناوری های نوین، استیتو

پاستور ایران، تهران، ایران

Email:

hadadian@yahoo.com

مقدمه: بررسی آثار پیتیدهای دارای خاصیت ضدباکتریایی می‌تواند راه را برای به دست آوردن آنتی‌بیوتیک‌های مؤثرتر هموار سازد. در این تحقیق، پیتید تترامر Sushi3 طراحی و بیان شد؛ سپس با پیتید تترامر Sushi3 دیگری مطالعه و مقایسه گردید که به منظور تغییر خواص ضدباکتریایی، اسید آمینه‌های اسپارتیک اسید و پرولین آن با اسید آمینه‌های گلیسین و سرین جایگزین شده بودند.

مواد و روش ها: ابتدا توالی های پیتیدی Sushi3 تترامر یادشده، طراحی و ساخته و به ترتیب Mer1 و Mer2 نام گذاری و به طور جداگانه در پلاسمید (+) pET-26b(+) کلون گردید و درنهایت، به میزبان E.coli BL21(DE3) انتقال داده شدند. پس از بیان پیتیدهای بالا، وجود پیتیدها با روش SDS-PAGE و وسترن بلاست تأیید گردید؛ سپس فعالیت ضد میکروبی Mer1 و Mer2 بررسی و مقایسه شد. درنهایت، سمیت دو تترامر ساخته شده بر روی رده سلولی-MDA-231 ارزیابی و مقایسه گردید.

یافته ها: Mer1 و Mer2 بیان پروتئینی مشابه داشتند و اثر سمی هر دو پیتید روی رده سلولی تفاوت معناداری نداشت؛ اما Mer2 نسبت به Mer1، در غلظت های یکسان، آثار ضد میکروبی مؤثرتری دارد.

بحث و نتیجه گیری: ارزیابی تأثیر جایگزینی اسید آمینه با بار منفی کمتر در افزایش فعالیت ضد میکروبی پیتیدها، راهکار مناسبی است. نتایج بالا امکان طراحی و تولید پیتیدهای ضد میکروبی علیه سویه های مقاوم به آنتی‌بیوتیک را به عنوان نسل بعدی آنتی‌بیوتیک ها افزایش می دهد.

واژه های کلیدی: پیتید تترامر Sushi3، خرچنگ نعل اسبي، فاكتور C، پیتیدهای ضد میکروبی

استناد: باغ بهشتی، سکينه؛ حدادايان، شاهين؛ عيدی، اکرم؛ پيشكار، ليلا؛ رحيمی، حمزه. ارزیابی تأثیر جایگزینی اسید آمینه‌هایی با بار منفی کمتر در پیتید تترامر سنتیک S3 مشتق از آمبوسيت خرچنگ نعل اسبي بر خاصيت ضد باكتريائي آن. مجله علمي دانشگاه علوم پزشكى ايلام، آبان، ۱۴۰۰؛ ۲۹(۴): ۱۱۶-۱۰۳.



بیوتیک های جدید هموار سازد. پیتیدهای ضد میکروبی یکی از گروههای متنوع تر کیمیات ضد میکروبی هستند که به علت پیدایش مقاومت باکتری های پاتوژن به آنتی بیوتیک های رایج مورد توجه بسیاری قرار گرفته اند. این مولکول های شبه پروتئینی اغلب در بردارنده اسید آمینه های تغییر شکل یافته و اصلاح شده ای هستند که در پلی پیتیدهای ساخته شده توسط ریبوزوم ها یافت نمی شوند. سمتی این پیتیدها به علت ظرفیت مداخله گر آن ها در غشاء میکروبی است که با ایجاد منافذ در غشا، سبب القای مرگ سلولی آن ها می گردد. بسیاری از گونه های گیاهان و حیوانات، از جمله انسان، توانایی تولید چندین نوع پیتید ضد میکروبی را دارند (۴). پیتیدهای ضد میکروب این میان ذاتی موجودات را تحریک می کنند و فعالیت ضد باکتریایی، ویروسی و قارچی دارند. پیتیدهای ضد میکروبی با اسیدهای آمینه دارای بار مثبت بر روی سطح میکرووار گانیسم ها به وسیله نیروهای الکترواستاتیک برهمن کنش می کنند. ساختار دوم پیتید برای اتصال آن به ترکیبات با بار منفی در غشاء های هدف مانند فسفولیپیدهای آنیونی، ضروری است. سازو کارهایی که به وسیله آن ها پیتیدهای ضد میکروبی می توانند به غشاء های میکروبی نفوذ کنند؛ مانند تشکیل منافذ، ترویج ساختار غیر لیپیدی یا تخریب غشاء دولایه، برای همه پیتیدها یکسان نیست و به نظر می رسد که به ویژگی های مولکولی پیتید و ترکیب لیپیدی غشاء هدف بستگی دارد (۵).

پیتیدهای ضد میکروبی (AMPs) به عنوان راهکار جدیدی برای عفونت های مقاوم در برابر داروها و آنتی بیوتیک ها محسوب می شوند و تحقیقات بی شماری در این حوزه در دست انجام است (۶). از دیگر مزیت های مهم برخی از پیتیدهای ضد میکروبی کاربرد آن ها در کنترل تشکیل یا حذف بیوفیلم ها و استفاده در حذف اندوتوكسین است (۷، ۸). پیتید S3 مشتق شده از فاکتور C موجود در آمبوبیت (Amoebocyte) خرچنگ نعل اسبی یکی از این پیتیدهای ضد میکروبی است که تحقیقات متعددی درباره

افزایش عفونت های ناشی از باکتری های گرم منفی مقاوم به آنتی بیوتیک های چندگانه شامل سویه های *Klebsiella pneumoniae*, *Escherichia coli*, *Pseudomonas aeruginosa* و *Enterobacteriaceae* مقاوم به carbapenem، مثال هایی از تهدیدات جدی هستند که امروزه، به یکی از مهم ترین چالش های حوزه درمان تبدیل شده است و درنتیجه، تولید نسل جدیدی از ترکیبات ضد میکروبی ضروری است که به راحتی مقاومت دارویی در برابر آن ها ایجاد نشود (۱). مقاومت آنتی بیوتیکی یکی از مهم ترین مضلات بهداشتی جامعه امروز است. ایران یکی از کشورهایی است که با تجویز بیش از اندازه آنتی بیوتیک روبروست و مصرف آن در این کشور، تقریباً برابر با کل مصرف آن در اروپاست. بر اساس این، مصرف آنتی بیوتیک در ایران ۱۶ برابر استاندارد جهانی است (۲). تعداد بسیاری از آنتی بیوتیک های سنتزی با ساختارهای شیمیایی متفاوت، برای کنترل عفونت های بیمارستانی و بیماری های عفونی انسان در سراسر جهان استفاده می شوند. استفاده طولانی مدت از این آنتی بیوتیک ها باعث ظهور مقاومت های چنددارویی و باکتری های مقاوم می گردد و از سویی، با آثار جانبی باعث بروز مشکلات بالینی فراوانی در بیماران می شود (۳)؛ از این رو، بایستی تحقیقات گسترده ای برای طراحی و سنتز ترکیبات ضد میکروبی و یا کشف مواد ضد میکروبی جدید از منابع طبیعی از جمله گیاهان دارویی، جلبک ها و منابع حیوانی صورت گیرد. مقابله با پدیده مقاومت دارویی به منظور کاهش بروز آن و یا محدود کردن عوامل میکروبی مقاوم اهمیت فراوانی دارد. از آنجاکه بیماری های عفونی و میکروبی دسته بزرگی از بیماری ها را تشکیل می دهند و از سویی، شمار سویه های میکروبی مقاوم به آنتی بیوتیک ها روز به روز بیشتر می شود؛ بنابراین، نیاز به مواد ضد قارچی و یا ضد باکتریایی جدید و کم ضرر هر روز بیشتر نمایان می گردد؛ از این رو، بررسی آثار پیتیدهای سنتزیک ضد باکتریایی می تواند راه را برای به دست آوردن آنتی

طراحی شده از ترجمه معکوس سایت ExPASy استفاده شد. سایتهای برشی NdeI و XhoI به انتهای' ۳', ۵' آن و دنباله هیستیدنی و همچنین سایت برش انتروکیناز به آن اضافه گردید و سفارش سنتز ژن به شرکت Biomatik کانادا داده شد. سازه های ژنی (Mer1 و Mer2) در وکتور pET-26b(+) دریافت گردید.

ساختار توالی پروتئینهای Mer1 و Mer2 (نحوه چیدمان واحدهای پپتیدی و لینکر) در جدول ۱ نشان داده شده است.

تکثیر پلاسمید، تخلیص و تهیه سلولهای مستعد: از باکتری *E. coli* TOP10F به منظور تکثیر پلاسمیدهای مدنظر استفاده شد. پس از انتقال وکتورها به میزبان *E. coli* TOP10F، فرایند تخلیص پلاسمید با استفاده از کیت تخلیص پلاسمید Qiagen صورت گرفت و نمونه ها برای مشاهده کیفیت عمل استخراج، بر روی ژل آگارز ۱٪ برده شدند.

ابتدا ۱۰ میکرولیتر از استوک میزبان باکتریایی *E. coli* سویه BL21(DE3) موجود در فریزر منفی ۷۰ درجه، بر روی پلیت آگار (LB) Luria-Bertani medium کشت داده و به مدت یک شب در دمای ۳۷ درجه سانتی گراد گرم‌گذاری گردید؛ سپس از پلیت یک کلنی برداشته و در ۵ میلی لیتر از محیط کشت Luria broth (LB) تلقیح شد و در شیکر انکوباتور با دمای ۳۷ درجه سانتی گراد و به مدت ۳ تا ۴ ساعت با سرعت ۱۷۰ g کشت گردید. هنگامی که جذب نوری سلولها در طول موج ۶۰۰ نانومتر به ۰/۵ (فاز لگاریتمی) رسید، سلولها به کمک ساتریفوژ در دور ۹۰۰۰g به مدت ۳ دقیقه رسوب داده و مایع رویی دور ریخته شد. رسوب سلولی حاصل در ۹۰۰ میکرولیتر محلول ۰/۱ مولار از کلسیم کلراید (CaCl₂) سرد حل گردید و به مدت ۳۰ دقیقه روی یخ قرار گرفت. سلولها

سازوکار ضد میکروبی آن صورت گرفته است. در داخل همولنف hemolymph (مایع گردشی مشابه خون) گونه های مختلف خرچنگ های نعل اسی، سلولهای گردشی فراوانی به نام آمبوسيت وجود دارند که لیز شدن این آمبوسيت ها توسط اندوتوكسین باکتری های گرم منفی به ایجاد ماده ژل مانندی منجر می شود.

به طور کلی، سنتر پپتیدها فرایند پیچیده، پرهزینه و زمانبری است و جداسازی پپتیدهای ضد میکروبی از منابع طبیعی آنها نیز علاوه بر زمان بر و پرهزینه بودن (۹)، صرفه اقتصادی و زیست محیطی ندارد. در مطالعه‌ای که در سال ۲۰۱۰ انجام گرفت، محققان دریافتند که با بیان ژن پپتید S3 به صورت فرم تترامر آن، علاوه بر حفظ فعالیت ضد میکروبی، بیشترین میزان بیان را دارد (۱۰). پپتید SΔ3 واریانت ارتقا یافته پپتید S3 است که در آن، با تغییر دو اسید آمینه G9 و E11 به لیزین، بار مثبت پپتید، خاصیت ضد میکروبی و البته اثر سمیت آن افزایش یافته است. از سویی، تحقیقات نشان داده است که فرم های مولتی مر پپتید S3 نیز خاصیت ضد میکروبی دارند (۱۱).

از آن جا که پپتیدهای ضد میکروبی از مولکولهای مهم اینمی ذاتی بدن هستند و سمیت سلولی اندکی دارند، می توانند در آینده ای نه چندان دور، به عنوان دارو در درمان بیماری های التهابی و همچنین شوک های سپتیک حاصل از اندوتوكسین باکتری ها استفاده شوند (۱۲). در این تحقیق، به مقایسه میزان بیان واریانت های مختلف پپتید ضد میکروبی S3 در سویه *E. coli* BL 21(DE3) و ارزیابی تأثیر جایگزینی اسید آمینه هایی با بار منفی کمتر دارای گلایسین، در بهبود خواص ضد میکروبی پرداخته شد.

مواد و روش ها

سنتر ژن: جهت تعیین توالی DNA، توالی های پروتئینی

جدول ۱. ساختار توالی پروتئین های Mer1 و Mer2

ردیف	نام پروتئین	واحدهای سازنده پروتئین
۱	Mer1	10His-Entrokinase site-S3-DP-S3-DP-S3-DP-S3
۲	Mer2	10His-Entrokinase site-S3- (GGGGS)3-S3- (GGGGS)3- S3- (GGGGS)3-S3

یک میلی لیتر رزین NiNTA (۲ ml سوپانسیون ۵۰ درصد) درون ستون Hitrap یک میلی لیتر ریخته شد و پس از متعادل‌سازی با ۵ میلی لیتر بافر متعادل‌سازی باشد جریان ۱ میلی لیتر در دقیقه (ml/min)، نمونه به ستون اعمال گردید؛ سپس ستون با ۱۰ برابر حجم ستون از بافر متعادل‌سازی تا رسیدن جذب A280 به ۰.۰۱ < و پس از آن، با ۴ برابر حجم ستون از بافر شستشو داده شد؛ سپس ۶ حجم از بافر شویش به ستون اعمال گردید و با مشاهده پیک، فرکشن های یک میلی لیتری مربوط به مشاهده پیک جمع‌آوری گردید. درنهایت، ستون با استفاده از ۵ حجم محلول بازیابی، برای استفاده مجدد شستشو داده شد و با عبور دادن اتانول ۲۰ درصد (دو حجم ستون) تا استفاده بعدی در یخچال نگهداری گردید. حضور پیتید هدف در نمونه خارج شده از ستون با استفاده از SDS-PAGE تأیید شد.

وسترن بلاستینگ (Western Blotting). پروتئین‌هایی که در مرحله پیش در ژل SDS-PAGE، از نظر اندازه از یکدیگر جدا شده بودند، با استفاده از ولتاژ الکتریکی به روی کاغذ نیتروسلولز منتقل گردیدند. کاغذ نیتروسلولز ظرفیت بسیار مناسبی (در حدود $70 \mu\text{g/cm}^2$) برای اتصال پروتئین‌ها نشان می‌دهد (۱۳، ۱۴). در این تحقیق، از دستگاه Semi Dry Bio-rad برای انتقال باندهای پروتئینی استفاده شد. برای جلوگیری از انتقال غیراختصاصی آنتی‌بادی‌ها به سطح کاغذ نیتروسلولز، کاغذ به مدت Phosphate buffered saline (PBS) یک شب در بافر (PBS) حاوی ۵ درصد قرار داده شد.

روز بعد، پس از ۳ بار شستشوی کاغذ با بافر PBS حاوی ۰.۰۵ Tween 20 درصد، آنتی‌بادی علیه دنباله هیستیدینی متصل به آنزیم پراکسیداز با رقت ۱ به ۱۰۰۰ در بافر PBS روی کاغذ نیتروسلولز اضافه گردید و به مدت ۲ ساعت در دمای اتاق، روی شیکر قرار داده شد. پس از شستشوی دوباره کاغذ با بافر شستشو، برای تشخیص باندهای پروتئینی سوبسترات آنزیم پراکسیداز یعنی

در دور ۹۰۰۰ g به مدت ۳ دقیقه سانتریفوژ شدند. رسوب سلولی در ۶۰۰ میکرو‌لیتر محلول ۰/۱ مولار از CaCl₂ گرفت. درنهایت، سلول‌ها دوباره در دور ۹۰۰ g به مدت ۳ دقیقه سانتریفوژ شدند. رسوب سلولی در ۴۰۰ میکرو‌لیتر محلول ۰/۱ مولار از CaCl₂ سرد حل گردید.

ترانسفورماتیون باکتری BL21 با وکتور نوترکیب: پس از آماده شدن سلول‌های مستعد، سازه ژنی بهمنظور بیان به باکتری E. coli سویه BL21(DE3) منتقل شد. پس از انتقال سازه ژنی به سلول‌های بیانی، مراحل بیان این پروتئین‌ها در باکتری صورت گرفت. بیان پروتئین‌ها نوترکیب در دمای ۳۰ درجه سانتی‌گراد و زمان انکوباسیون ۴ ساعت پس از القاء، در حجم ۵ میلی لیتر و ۲۵۰ میلی لیتر انجام گردید.

استخراج پروتئین نوترکیب: پس از جداسازی زیست‌توده از محیط کشت بهوسیله سانتریفوژ، دیواره سلولی از طریق حل کردن پلت‌ها به نسبت ۱:۵ وزنی / حجمی در محلول لیزکننده (Tris hydrochloride ۲۰ میلی‌مolar pH7.5) و با استفاده از دستگاه اولتراسونیک (ده پالس ۳۰ ثانیه - توقف ۳۰ ثانیه) شکسته شد و پس از شستشو و حذف بقایای دیواره سلولی شکسته شده، اینکلوزن بادی‌ها با استفاده از سانتریفوژ به مدت ۱۰ دقیقه و دور ۹۰۰ g به صورت پلت جداسازی گردید و برای شستشو در بافر Tris-HCl ۲۰ میلی‌مolar pH 7.5 حاوی اوره ۲ مولار حل شد و پس از سانتریفوژ بر اساس شرایط بالا، سوپرناکت دور ریخته و پلت‌ها جمع آوری گردید؛ سپس اینکلوزن بادی شکسته شده با استفاده از بافر Tris-HCl ۲۰ میلی‌مolar pH 7.5 حاوی اوره ۶ مولار حل گردید (نسبت ۱:۵ وزنی / حجمی) و به مدت ۳۰ دقیقه در دمای ۴ درجه با همزن مغناطیسی همزده شد. با استفاده از سانتریفوژ به مدت ۱۵ دقیقه با سرعت ۹۰۰۰ g، مایع رویی حاوی پروتئین حل شده جمع‌آوری گردید.

تخلیص پروتئین با استفاده از کروماتوگرافی تمایلی یون فنری (IMAC). برای تخلیص هریک از توالی‌ها،

گردید؛ بنابراین، چاهک‌های ۱ الی ۱۰ به رقت‌های متوالی پیتیدها، چاهک‌های ستون ۱۱ به کنترل مثبت باکتری (رشد حداکثر سویه) و چاهک‌های ستون ۱۲ به کنترل منفی باکتری (تست سترونی آزمون) اختصاص داده شد (۱۵). پس از ۱۸ ساعت انکوباسیون در دمای ۳۷ درجه سانتی‌گراد، جذب چاهک‌ها در طول موج ۶۰۰ نانومتر قرائت گردید و حداقل غلظتی از پروتئین که جذب آن معادل ۵۰ درصد جذب سلول فاقد پروتئین بود، به عنوان حداقل غلظت بازدارندگی پروتئین (MIC 50) انتخاب شد. آزمون در دو نوبت مستقل از هم و به صورت تکرار سه‌تایی صورت گرفت.

برای تهیه استاندارد مک فارلنده ۰/۵، ابتدا محلول ۰/۰۴۸ مولار کلرید باریم ($BaCl_2 \cdot 2H_2O$) و محلول ۰/۰۱۸ مولار اسید سولفوریک (H_2SO_4) ساخته شد؛ سپس ۰/۰۵ میلی لیتر از محلول کلرید باریم به ۵/۹۹ میلی لیتر محلول اسید سولفوریک اضافه گردید و به خوبی همزده شد تا حالت سوسپانسیون به دست آید. برای اطمینان از صحت محلول سازی، جذب نوری محلول مک فارلنده به دست آمده در طول موج ۶۲۵ نانومتر اندازه گیری گردید. محدوده صحیح این جذب بین ۰/۰۸ الی ۰/۱۳ است. استاندارد حاصله در لوله‌های آزمایش در حجم‌های ۵ میلی لیتر تقسیم و دور از نور در دمای محیط نگهداری شد. با استفاده از درونیابی مقادیر MIC50 برای همه تکرارها تعیین گردید و آنالیزهای آماری بر روی این مقادیر صورت گرفت. از منحنی Box- Plot برای تشخیص داده‌های پرت (Outlier) و از آزمون Shapiro- Wilk برای بررسی توزیع نرمال نتایج MIC50 استفاده شد. برای ارزیابی یکسان بودن واریانس‌ها از آزمون Levene و از آزمون independent sample T-Test برای مقایسه MIC50 پلی‌پیتیدهای موردمطالعه استفاده گردید.

اثر سمیت پپتید بر سلول‌های یوکاریوتی: رده سلولی MDA-MB-231 (ATCC: HTB-26) از بانک سلولی انسیتو پاستور ایران تهیه و در فلاسک کشت سلولی ۲۵ میلی لیتر دارای محیط DMEM حاوی FBS (Fetal

Diaminobenzidine tetrahydrochloride (DAB) ۲۰ میکرولیتر H_2O به آن اضافه گردید. در اثر واکنش DAB و پراکسیداز روحی کاغذ نیتروسلولز، مشاهده رسوب قهقهه‌ای رنگ حضور باند پروتئین مدنظر را تأیید کرد. فعالیت ضدمیکروبی (حداقل غلظت بازدارندگی MIC_{50}): اثر ضدمیکروبی پروتئین هیبریدی حاصله، از طریق تعیین حداقل غلظت بازدارندگی مطالعه شد. برای این منظور، رقت‌های متوالی از پلی‌پیتید تهیه می‌گردد و به چاهک‌های پلیت ۹۶ تایی استریل افزوده می‌شود. باکتری *pseudomonas aeruginosa* های گرم منفی مختلف (سویه استاندارد ATTC27853 و سویه کلینیکی مقاوم ایزوله شده در کلینیک طوس) و *Escherichia coli* (سویه استاندارد ATCC25922 و سویه کلینیکی مقاوم) ابتدا در محیط کشت Mueller Hinton کشت شبانه داده شد و سپس با افروden ۱۰۰ میکرولیتر از کشت شبانه به ۵ میلی لیتر محیط تازه تا رسیدن به فاز لگاریتمی (OD 600nm ۰.۶) کشت گردید؛ سپس با استفاده از سرم نمکی سترون تا رسیدن به غلظت سلولی $CFU ml^{-1} \times 10^5$ رقیق شد (حصول کدورت مشابه کدورت استاندارد مک فارلنده ۰/۰۵). در شرایط سترون، میزان ۵۰ میکرولیتر محیط کشت مولرهاینتون در هریک از چاهک‌های ستون‌های ۲ الی ۱۰ ریخته شد. در چاهک‌های ستون شماره ۱۲ برای تست سترونی شرایط آزمون، تنها ۱۰۰ میکرولیتر محیط کشت ریخته شد. در چاهک‌های ۱، ۱۰۰ میکرولیتر از هریک از پروتئین‌های توالی‌های ژن Mer1 (Seq1) و ژن Mer2 (Seq2) غلظت ۲۰X، با استفاده از محیط کشت مولرهاینتون ۱۰ برابر رقیق گردید (غلظت نهایی ۲X)؛ سپس ۲۵۰ میکرولیتر از هریک آن‌ها در چاهک‌های ۱ ردیف‌های مربوطه ریخته شد. با کمک سمپلر چند کاناله، ۲۰۰ میکرولیتر از چاهک‌های ۱ به درون چاهک‌های ۲ ریخته شد و با ادامه این کار تا چاهک‌های شماره ۱۰، رقت‌های متوالی با نسبت ۴/۵ تهیه گردید؛ سپس به هریک از چاهک‌های ۱ الی ۱۰ و چاهک‌های ستون ۱۱، ۵۰ میکرولیتر از سوسپانسیون‌های میکروبی تهیه شده اضافه

در صد سلول‌ها زنده بودند، به عنوان غلظت IC50 گزارش گردید. آزمون در دونوبت مستقل از هم و به صورت تکرار سه‌تایی صورت گرفت. از منحنی Box-Plot برای تشخیص داده‌های پرت (Outlier) و از آزمون Shapiro-Wilk برای بررسی توزیع نرمال نتایج در صد بقای سلولی استفاده شد. با توجه به مشاهده نشدن سمیت ۵۰ در صد مرجع، نتایج بقای سلولی در بیشترین غلظت پلی پپتید مربوط، نتایج بقای سلولی در ۲۰۰ µM، انتخاب گردید و برای ارزیابی یکسان بودن واریانس‌ها از آزمون Levene و برای مقایسه میزان سمیت پپتیدها در هریک از زمان‌های ۲۴ و ۴۸ ساعت، از آزمون post-hoc LSD و آزمون one way ANOVA (در شرایط برابری واریانس‌ها) و آزمون Games-Howell (در شرایط واریانس‌های نامساوی) استفاده شد. برای مقایسه سمیت هر پپتید در زمان‌های ۲۴ و ۴۸ ساعت، از آزمون independent sample T-Test استفاده گردید.

یافته‌ها

وسترن بلاست برای تأیید بیان پروتئین هدف: با توجه به اینکه در سکانس‌های پروتئین‌های مدنظر، دنباله هیستیدینی تعییه شده بود، آزمون وسترن بلاست با استفاده از آنتی‌بادی علیه دنباله هیستیدینی انجام شد (شکل ۱). تطابق باندهای مشاهده شده پس از مرحله القای باکتری با باندهای آزمون وسترن، بیان پروتئین هدف را تأیید نمود. پروتئین Mer2 در کلونهای متفاوت بصورت تک باند و دو باند مشاهده شد که با توجه به اینکه باند سنگین تر از نظر وزنی تقریباً دو برابر باند سبکتر بود و در آزمون وسترن هر دو باند دارای دنباله هیستیدینی بودند. همچنین باند سنگینتر در شرایط احیاء آزمون SDS-PAGE از نظر وزنی در جایگاه باند اول قرار گرفت. به نظر میرسد در کلونهای متفاوت از سکانس ۲، دو پروتئین Mer2 از طریق باند دی سولفیدی به صورت دایمر تبدیل شده و در نتیجه در شرایط غیر احیاء و در آزمون وسترن در جایگاه باند سنگین تر قرار گرفتند. در ادامه تحقیق پروتئینهای Mer1 و Mer2 (حاصل

bovine serum) 10% حاوی آنتی بیوتیک ($100 \mu\text{g ml}^{-1}$ سلین و $100 \mu\text{g ml}^{-1}$ استرپтомایسین) در CO_2 ۵% در دمای ۳۷ درجه سانتی گراد کشت داده شد. پس از ۴۸ ساعت و تشکیل یک لایه سلولی بر دیواره فلاسک، سلول‌ها دوباره پاساز گردیدند و دوباره پس از ۲۴ ساعت و تشکیل تک لایه سلول‌ها، به وسیله تیمار ملایم با تریپسین از دیواره کنده شد و با سانتریفیوژ در دمای ۴ درجه سانتی گراد و دور ۱۲۰۰ g به مدت ۲ دقیقه، با تخلیه سوپراناتانت تریپسین از سلول‌ها حذف گردید و سلول‌ها دوباره در محیط کشت بالا حل شد و پس از اطمینان از viability سلول‌ها از طریق رنگ‌آمیزی با تریپان بلو و شمارش سلول‌ها با استفاده از لام نثوبار در زیر میکروسکوپ، سلول‌ها به میزان ۳۰۰۰ در ۱۰۰ میکرولیتر در هر چاهک میکروپلیت (۹۶ چاهک) تخت مخصوص کشت سلولی) توزیع گردید. پس از ۲۴ ساعت و اطمینان از رشد سلول‌ها و اتصال آن‌ها به دیواره، محیط کشت داخل چاهک‌ها از طریق مکش تخلیه شد و غلظت‌های مختلف هریک از پلی پپتیدهای ضد میکروبی (رقت‌های متوالی با نسبت یک‌دوم رقیق شده در محیط کشت آمده مطابق فوق) به میزان ۱۰۰ میکرولیتر به هر چاهک اضافه گردید. همین عملیات پس از ۲۴ ساعت، در میکروپلیت های جدید تکرار شد و به این ترتیب سلول‌های پلیت روز اول به مدت ۴۸ ساعت و سلول‌های پلیت روز دوم به مدت ۲۴ ساعت با پلی پپتیدهای ضد میکروبی در تماس قرار گرفتند. در روز سوم، محلول محیط حاوی پپتیدها از چاهک‌ها تخلیه گردید و ۱۰۰ میکرولیتر از رنگ حیاتی formazon MTT با غلظت ۰.۵ mg/ml به چاهک‌ها اضافه شد و پس از ۴ ساعت انکوپاسیون در دمای ۳۷ درجه و ۱۰۰ μl با افروزن formazan ۵% CO_2 ، کریستال‌های DMSO به صورت محلول در آمده و میزان جذب نوری چاهک‌ها در طول موج ۶۰۰ نانومتر (nm) اندازه گیری گردید و با تعیین نسبت جذب نوری هر نمونه به جذب نوری نمونه کنترل منفی viability (۱۰۰ درصد)، نسبت بقای سلول‌ها محاسبه شد و غلظتی از پپتید که در آن ۵۰

نتایج در صد بقای سلولی بعد از تماس با غلظت ۲۵۰ میکرومولار هر یک از این دو پروتئین با استفاده از آزمون آماری Independent T-test با یکدیگر مقایسه شد. نتایج مربوطه در جدول شماره ۲ آورده شده است. در مرحله اول از آزمون Wilk-Shapiro برای ارزیابی نرمال بودن توزیع نتایج استفاده شد. در همه موارد $P\text{-value} > 0.05$ بیانگر توزیع نرمال نتایج بود.

میان نتایج میزان سمیت هریک از سکانس‌ها در زمان ۲۴ و ۴۸ ساعت، بیانگر نبود اختلاف معنا دار در سمیت سکانس‌ها است.

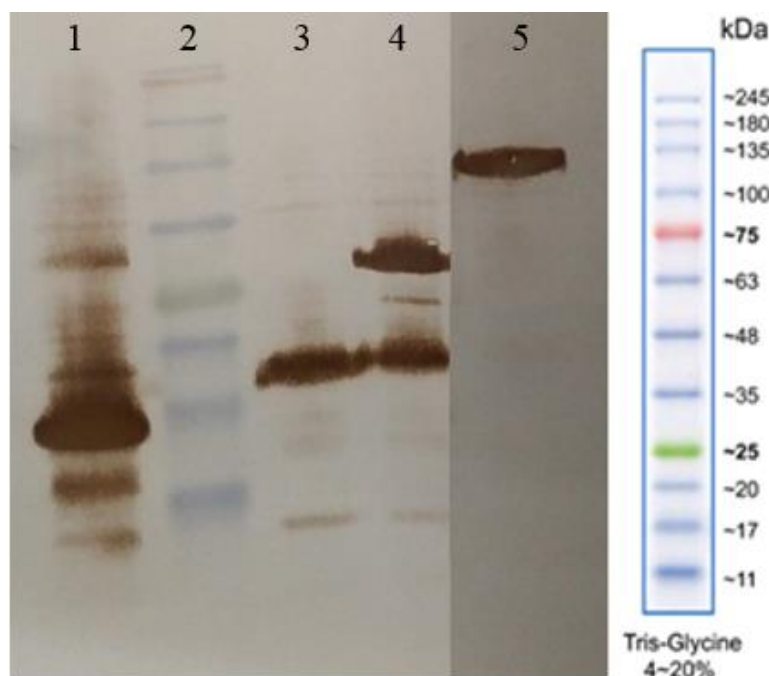
برای مقایسه اثر زمان بر میزان بقای سلولی، برای هریک از پلی‌پیتیدها به صورت جداگانه میان داده‌های ۲۴

از کلون تک باند) تخلیص گردیده و برای آزمونهای مختلف مورد استفاده قرار گرفتند.

نتایج آزمون MTT آزمون MTT با رده سلولی-MB-231 در دو زمان ۲۴ و ۴۸ ساعت انجام شد. در هریک از میکروپلیت‌ها میانگین جذب نوری چاهک‌های بلاتک از جذب نوری هریک از چاهک‌ها کسر گردید. در هر پلیت، میانگین جذب نوری چاهک‌های کنترل نیز به عنوان Abs control در نظر گرفته شد و در صد بقای سلولی از طریق رابطه زیر محاسبه گردید:

$$\% \text{ Cell Survival} = (\text{Abs}_{\text{sample}} - \text{Abs}_{\text{blank}}) / (\text{Abs}_{\text{control}} - \text{Abs}_{\text{blank}}) * 100$$

برای مقایسه سمیت سلولی پروتئینهای Mer1 و Mer2

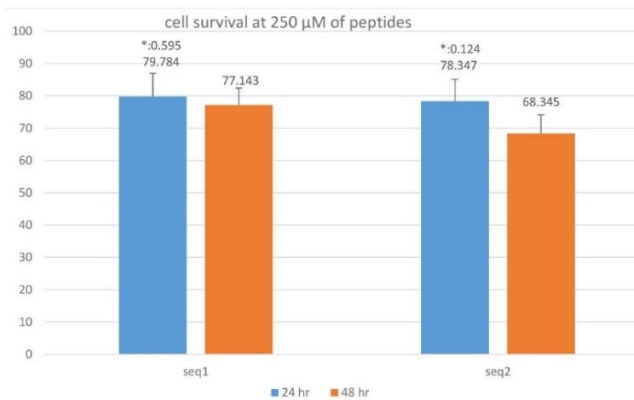


شکل ۱. ایمونوبلاتینگ با استفاده از دنباله هیستیدینی

شماره ۱. پروتئین Mer1 (۱۸ کیلو Dalton)، شماره ۲: مارکر پروتئینی؛ شماره ۳. پروتئین Mer2 کلون تک باند (۲۱ کیلو Dalton)؛ شماره ۴. پروتئین Mer2 کلون دو باند (دایمر)؛ شماره ۵. نمونه پروتئینی کنترل مثبت حاوی دنباله هیستیدینی (۴۳ کیلو Dalton) که با توجه به دو برابر بودن وزن مولکولی آن، در فضای بالاتر از محل قرار گیری پپتید Mer1 و Mer2 قرار می‌گیرد.

جدول ۲. مقایسه درصد بهبود خاصیت ضد میکروبی پپتید سکانس ۲ به نسبت سکانس ۱

peptide 1	peptide 2	E.coli - ATCC25922	resistant E. coli	P. aeruginosa ATCC27853	resistant P. aeruginosa
Mer1	Mer2	18.94	14.76	12.13	18.33



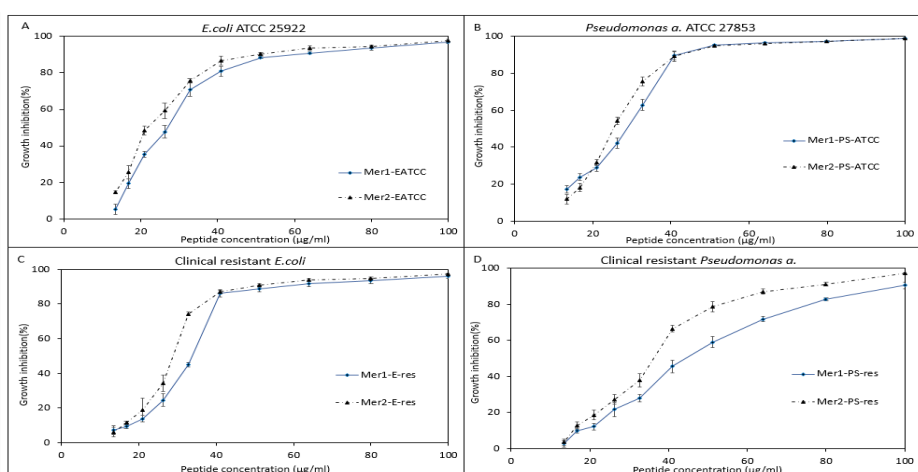
شکل ۲. مقایسه میزان بقای سلولی در ۲۴ و ۴۸ ساعت

Growth Inhibition (%) = $(OD_{\text{maximum growth}} - OD_{\text{sample}}) / OD_{\text{maximum growth}} * 100$

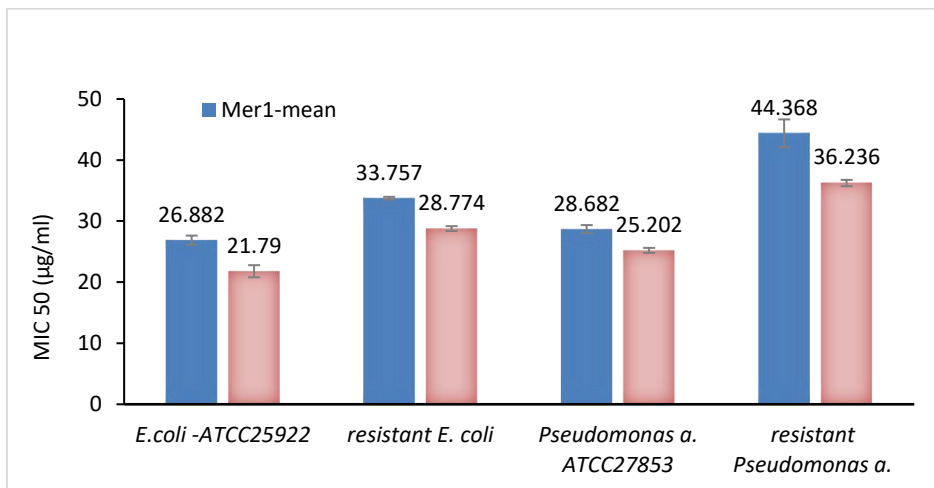
منحنی بازدارندگی بر حسب غلظت پلی‌پپتید رسم گردید. نتایج مربوط به تکرارهای چهارتایی هریک از پلی‌پپتیدها برای هریک از باکتری‌های یادشده در شکل شماره ۳ آمده است.

میزان بازدارندگی میانگین غلظت‌های پلی‌پپتیدها بر هریک از سویه‌های بررسی شده در شکل شماره ۳ نشان داده شده است. در این شکل سویه‌های – ATCC27853 - E. coli - ATCC25922 ، Pseudomonas aeruginosa سویه‌های کلینیکی مقاوم هر یک به ترتیب با PS-ATCC E-res، E-ATCC و PS-res نشان داده شده‌اند. در شکل شماره ۳، با توجه به میانگین نتایج و با استفاده از روش درون‌یابی، میزان بازدارندگی ۵۰ درصد محاسبه گردیده است. در همه این شکل‌ها، غلظت‌های مختلف

و ۴۸ ساعت، از آزمون Independent T-test (16) استفاده شد. مقایسه میزان بقای سلولی در حداکثر غلظت پلی‌پپتید (M_{IC}) برای هریک از پپتیدها در ساعت ۲۴ و ۴۸ ساعت، در شکل شماره ۲ نشان داده شده است. نتایج آزمون حداقل غلظت بازدارندگی رشد باکتریایی (MIC). تأثیر غلظت‌های مختلف هریک از پلی‌پپتیدهای Mer1 و Mer2 بر رشد باکتری‌های گرم منفی مختلف Pseudomonas aeruginosa (سویه استاندارد E. coli ATCC27853 و سویه کلینیکی مقاوم ایزوکله شده) و (سویه استاندارد E. coli ATCC25922 و سویه کلینیکی مقاوم)، به صورت تکرارهای چهارتایی بررسی شد. در هر میکروپلیت، میانگین چاهک‌های بلانک از میانگین چاهک‌های حداکثر رشد کسر گردید و میزان بازدارندگی بر اساس رابطه زیر محاسبه شد:



شکل ۳. الف. میانگین میزان بازدارندگی غلظت‌های مختلف پلی‌پپتیدها بر رشد باکتری A. E.coli ATCC 25922 B. P. aeruginosa ATCC 27853 C. E.coli مقاوم، D. P. aeruginosa کلینیکال مقاوم،



شکل ۴. مقایسه MIC50 پلی پپتیدها

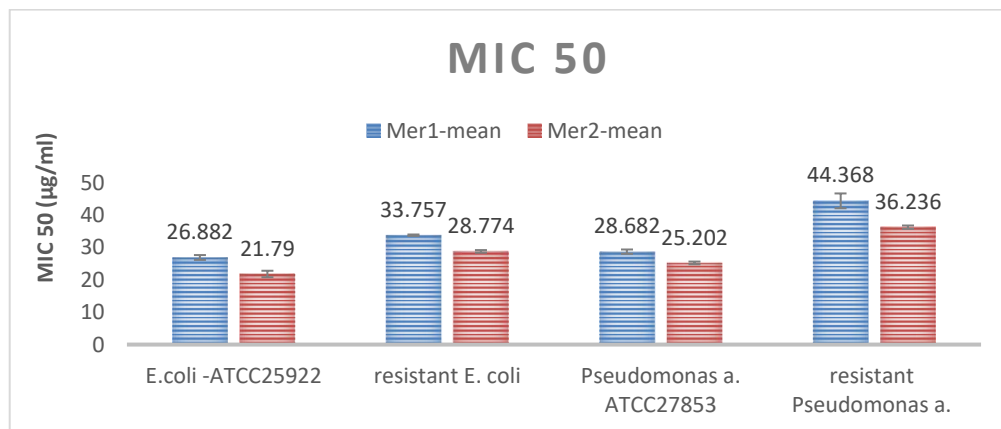
درنتیجه، همه داده‌ها قابل قبول و قابل مقایسه بودند. برای مقایسه MIC هریک از توالی‌ها روی هریک از سویه‌ها، از آزمون Independent T test استفاده شد. در همه موارد $P \text{ value} < 0.05$ بود که بیانگر معنادار بودن اختلافات مشاهده شده میان نتایج بود؛ بنابراین، برای بررسی میزان بهبود خاصیت میکروبی از حالت کاهش غلظت MIC بر اساس رابطه زیر استفاده گردید و نتایج در جدول شماره ۳ نشان داده شد.

$\text{MIC improvement} = (\text{MIC 50 peptide 1} - \text{MIC 50 peptide 2}) / \text{MIC 50 peptide 1} * 100$

بر اساس نتایج جدول شماره ۳، استفاده از اسید آمینه‌های گلایسین و سرین سبب بهبود ۱۲ الی ۱۹ درصدی حداقل غلظت بازدارندگی رشد میکروبی در سویه‌های مطالعه شده گردید.

پلی پپتیدها با نسبت رقت‌های ۰/۸ شامل ۱۰۰، ۸۰، ۶۴، ۵۱.۲، ۴۰/۹۶، ۳۲/۷۶۸، ۲۰/۹۷۱، ۲۶/۲۱۴ و ۱۳/۴۲۲ $\mu\text{g/ml}$ تهیه شده‌اند. برای سهولت مقایسه، اطلاعات MIC 50 $\mu\text{g/ml}$ در شکل شماره ۴ دوباره نمایش داده شده است.

برای بررسی معنادار بودن اختلافات مشاهده شده در شکل شماره ۴، مقادیر MIC50 برای هریک از تکرارها با استفاده از درون‌یابی تعیین گردید و نتایج از نظر آماری آنالیز شد. در آزمون Shapiro-Wilk $P \text{ value} > 0.05$ بود؛ بنابراین، برای بودن توزیع همه تکرارهای MIC50 مقایسه آنها از آزمون پارامتری ANOVA استفاده شد. از نمودار BOX plot برای تشخیص داده‌های پرت (outlier) استفاده شد و داده پرتی وجود نداشت و



شکل ۵. مقایسه MIC50 پلی پپتیدها

جدول ۳. مقایسه درصد بهبود خاصیت ضد میکروبی پپتید سکانس ۲ به نسبت سکانس ۱

peptide 1	peptide 2	E.coli - ATCC25922	resistant E. coli	P. aeruginosa ATCC27853	resistant P. aeruginosa
Mer1	Mer2	18.94	14.76	12.13	18.33

محاسبه گردید که نشان دهنده بهبود حدود ۲۵ درصدی خاصیت ضد میکروبی Mer2 نسبت به Mer1 است. بر اساس نتایج بدست آمده از این پژوهش، توالی Mer2 باعث افزایش میزان بیان پلی پپتید S3 و همچنین افزایش خاصیت ضد میکروبی آن شد. به طور مشابه، اثر این پپتید در افزایش فعالیت بیولوژیکی پروتئین بیوژن حاصل از اتصال آنزیم پنی سیلین آمیداز (PGA) و چپرون (rTHS) Methanocaldococcus jannschii مشتق شده از گزارش گردیده است. تأثیر مثبت Mer2 در افزایش پایداری و تصحیح تاخوردگی در برخی از مطالعات بیان پروتئین های نوترکیب نیز گزارش شده است. در تحقیق دیگری، لی و همکاران در سال ۲۰۱۳، از این اسید آمینه ها در بیان هیبرید پپتید ضد میکروبی Attacine و Coleoptericin استفاده کردند و مشاهده شد که خاصیت ضد میکروبی پپتید هیبرید به دست آمده در مقایسه با هریک از پپتیدهای ضد میکروبی به صورت جداگانه، به طور نسبی کمتر بود و این در حالی است که تعویض اسید آمینه های گلایسین سرین با گلوتامین، آلانین و لیزین سبب بهبود خاصیت ضد میکروبی هیبرید حاصله می شد (۲۴). در مقایسه اثر اسید آمینه ها به عنوان اتصال دهنده پپتیدها در مطالعه لی و همکاران شاید بتوان بهبود خاصیت ضد میکروبی در جایگزین کردن گلوتامین، آلانین و لیزین به افزایش بار مثبت پپتید در اثر حضور اسید آمینه لیزین در این پپتید نسبت داد. به طور مشابه، در تحقیق حاضر، استفاده از اسید آمینه های آسپارتیک اسید پرولین در مقایسه با گلایسین سرین در نواحی اتصال دهنده پپتیدها، به سبب وجود آسپارتیک اسید دارای بار منفی، باعث کاهش بار مثبت کلی پروتئین از ۹+ به ۶+ می شود؛ بنابراین، به نظر می رسد افزایش خاصیت ضد میکروبی سکانس ۲ Mer2 نسبت به سکانس ۱ Mer1 می تواند با حضور ۳ بار مثبت بیشتر و

بحث و نتیجه گیری

پپتیدهای ضد میکروبی بخش مهمی از دستگاه ایمنی ذاتی یوکاریوت ها هستند و جایگزینی احتمالی برای آنتی بیوتیک های رایج ارائه می دهند؛ بنابراین، درک عملکرد آن ها اهمیت بالایی دارد. بسیاری از آن ها با غشاء باکتری ها در تعامل هستند که به آشفتگی لایه لپیدی و درنهایت، غیرفعال شدن پاتوژن منجر می گردد. از آنجاکه به علت تجویز بیش از حد آنتی بیوتیک ها، باکتری های مقاوم به دارو ظهور کرده اند، به کلاس های جدیدی از آنتی بیوتیک ها نیاز است که پپتیدهای ضد میکروبی می توانند یکی از این جایگزین های ارزشمند باشد.

خاصیت ضد میکروبی پپتید Sushi1 مشتق شده از جایگاه اتصال فاکتور C آمبوسیت خرچنگ نعل اسی، در مطالعه ای به وسیله روش لیز باکتری های گرم منفی زنده فلورسنست به اثبات رسیده است. در این روش، با استفاده از Sushi1 نشان دارشده با نانوذرات، روند فرایند ضد میکروبی پپتید در سطح تک مولکولی مشاهده شده است (۲۰-۲۷). در میان این پپتیدها، پپتید خطی S3 مشتق شده از دمین Sushi3 فاکتور C به سبب خاصیت ضد میکروبی علیه باکتری های گرم منفی، قدرت بالای اتصال به LPS و همچنین سمیت پایین آن، کاندیدای مناسی برای استفاده به عنوان داروی ضد میکروبی، کیت تشخیص و ستون حذف اندو توکسین است (۲۱، ۲۲).

در باره پلی پپتیدهای مطالعه شده در این طرح نیز، تشکیل پیوند دی سولفیدی در تریمر Mer2 از طریق مقایسه نتایج آزمون SDS-PAGE آن ها در حالت احیا و غیر احیا تأیید گردید.

برای بررسی اثر استفاده از Mer1 در مقایسه با Mer2 نتایج میانگین ژئومتریک غلظت های مولی MIC50 (۲۳) در این دو توالی با یکدیگر مقایسه شدند. GM MIC ۵۰ برای Mer1 و Mer2 به ترتیب معادل ۱/۳۴ و ۱/۷۹ μM و

در باره پیتیدهای خطی S1 یا S3، در همه مطالعات موجود از روش سنتز فاز جامد این پیتیدها استفاده شده و تنها گزارش تولید نوترکیب آن‌ها، مربوط به بیان مولتی‌مر S3 در میزان *E.coli* (DE3) است (۲۰). دینگ و همکاران در سال ۲۰۱۰، با بیان ژن پیتید S3 به صورت مونومر، دیمر، تترامر و اکتامر دریافتند که فرم تترامر آن بیشترین میزان بیان را دارد (۲۸، ۲۹). رائو و همکاران نیز در سال ۲۰۰۵، پیتید ضدمیکروبی β -hPAB را به صورت مولتی‌مر در *E.coli* BL21(DE3) بیان کردند و دریافتند که از میان حالات دیمر تا اکتامر آن، بیشترین میزان بیان در حدود ۲۷/۸ درصد مربوط به بیان ژن این پیتید به صورت ترایمر بود (۳۰). در این تحقیق، با توجه به اینکه بیشترین فعالیت برای فرم تترامر پیتید S3 گزارش شده است (۲۸، ۲۹)، بیان نوترکیب پیتید S3 به صورت تریمر و همچنین S3 تریمری که در آن اسید آمینه‌های گلاسین و سرین در نواحی محدودی جایگزین اسپارتیک اسید و پرولین شده‌اند، در سویه باکتری (*E.coli* BL21(DE3) بررسی گردید، به این صورت که ژن مربوط به توالی‌های مدنظر پس از سنتز و تکثیر، به باکتری *E.coli* BL21 متنقل شد و پس از القای باکتری با IPTG، بیان پروتئین‌های هدف با استفاده از آزمون‌های SDS-PAGE و وسترن (علیه دنباله هیستیدینی) انجام و بیان آن‌ها تأیید گردید.

در مقایسه میزان بیان واریانت‌های مختلف پیتید تریمر سنتیک S3 در سویه (*E.coli* BL 21(DE3)) و ارزیابی تأثیر جایگزینی اسید آمینه‌هایی با بار منفی کمتر این پیتید در بهبود خواص ضدمیکروبی، پس از طراحی و بیان پیتیدهای مدنظر، پیتید حاصل از توالی Mer1 و سکانس Mer2 با یکدیگر مقایسه شدند. با توجه به افزایش بیان و همچنین خاصیت ضدمیکروبی پلی‌پیتید ضدمیکروبی S3 در مقایسه با Mer1 و همچنین با توجه به افزایش بیان نداشتند معنادار خاصیت سمیت آن، می‌توان نتیجه گرفت که جایگزینی اسید آمینه با بار منفی کمتر در بیان تترامر پیتید ضدمیکروبی S3 استراتژی مناسبی است.

همچنین افزایش محتوای گلاسینی این پیتید ارتباط داشته باشد؛ زیرا خاصیت ضدمیکروبی در پیتیدهای غنی از گلاسین جداسازی شده از دستگاه‌های دفاعی موجوداتی نظیر عقرب و خرچنگ عقربي، در مقالات مختلف گزارش شده است (۲۷-۲۵).

در بیان نوترکیب پیتیدهای ضدمیکروبی اعم از بیان فیوژن یا مولتی‌مر، بررسی اثر سمیت پروتئین به دست آمده یکی دیگر از نکات حائز اهمیت است. در این تحقیق، از آنچاکه بر اساس آزمون MTT، تفاوت چندانی در میزان سمیت پلی‌پیتیدها دیده نمی‌شود (حدود ۲۰ الی ۲۲ درصد سمیت بعد از ۲۴ ساعت در غلظت $250\text{ }\mu\text{M}$)؛ بنابراین می‌توان نتیجه گرفت که پلی‌پیتید ضدمیکروبی Mer2 S3 نسبت به Mer1 ارجحیت دارد و تغییرات صورت گرفته در بهبود خاصیت ضدمیکروبی پلی‌پیتیدهای طراحی شده تأثیر مثبت داشته و قابل قبول است. لازم به توضیح است که بر اساس نمودارهای میزان بقای سلولی در آزمون MTT، می‌توان گفت که سمیت جزئی مشاهده شده برای همه سکانس‌ها وابسته به غلظت و زمان است ($P < 0.05$)؛ اما نکته مهم این است که پلی‌پیتیدها در غلظت ۵۰ MIC اثر سمیت ندارند. در مطالعه یائو و همکاران در سال ۲۰۰۱، خواص غیرسمی و غیرهمولیتیک پیتید S1 و S3 را کشف شد و این پیتیدها به عنوان کاندیدای مناسبی در سپتیک‌های میکروبی معرفی گردید و خواص ضدمیکروبی پیتیدهای Sushi روی طیف وسیعی از باکتری‌های گرم منفی بررسی شد (۱۷). در بررسی‌های کارلیر و همکاران در سال ۲۰۱۵، با استفاده از میکروسکوپ نیروی اتمی (AFM) نشان داده است که پیتید S3 از طریق تخریب غشای بیرونی و نفوذپذیر ساختن غشای بیرونی و درنهایت، از طریق تکه‌تکه کردن هر دو غشای بیرونی و درونی باکتری گرم منفی، خاصیت ضدمیکروبی خود را بروز می‌دهد. لپتین و همکاران در سال ۲۰۰۹-۲۰۱۰ نیز، با تثیت پیتید S1 بر نانوذرات طلا و با استفاده از میکروسکوپ الکترونی تواستند تخریب دیواره سلولی باکتری *E. coli* را به نمایش درآورند (۱۸، ۱۹).

کد اخلاق

این مطالعه فاقد کارآزمایی بالینی بوده و کد اخلاق در مورد آن کاربرد نداشت.

تعارض منافع

نویسنده‌گان اعلام می‌کنند که تضاد منافعی در این مطالعه وجود ندارد.

References

1. Kaye KS, Pogue JM. Infections Caused by Resistant Gram-Negative Bacteria: Epidemiology and Management. *Pharmacotherapy: The Journal of Human Pharmacology and Drug Therapy*. 2015;35:949-62. doi.10.1002/phar.1636.
2. Jenkinez V, Ranjitha K. Phytochemical and antibacterial studies of chicory a multipurpose medicinal plant stress physiology and medicinal plant biotechnology unit. *Sch Life Sci Bharathidasan Uni Nadu India*2008;2:620 4.
3. Moniri R, Mosayebi Z, Movahedian AH, Mossavi GhA. Increasing trend of antimicrobial drug-resistance in *Pseudomonas aeruginosa* causing septicemia. *Iranian J Pub Health* 2006;35:58-62.
4. Evelien Berends. Role of antimicrobial peptides in human innate defense against bacteria master program *Infection and Immunity*. Msc Thes Uni Med Cent Utrecht Heidelberg 2010;1-70.
5. Guilhelmell N, Vilel F. Antibiotic development challenges the various mechanisms of action of antimicrobial peptides and of bacterial resistance. *Front Microbiol*2013; 4:353. doi. 10.3389/fmicb.2013.00353.
6. Engler AC, Wiradharma N, Ong ZY, Coady DJ, Hedrick JL, Yang YY. Emerging trends in macromolecular antimicrobials to fight multi drug resistant infections. *Nan Tod*2012;7:201-22. doi. 10.1016/j.nantod.2012.04.003.
7. Maisetta G, Grassi L, Di Luca M, Bombardelli S, Medici C, Brancatisano FL, et al. Anti biofilm properties of the antimicrobial peptide temporin 1Tb and its ability, in combination with EDTA, to eradicate *Staphylococcus epidermidis* biofilms on silicone catheters. *Biofouling* 2016;32 :787-800. doi. 10.1080/08927014.2016.1194401.
8. Mansour SC, Hancock RE. Peptide idr1018 modulating the immune system and targeting bacterial biofilms to treat antibioticresistant bacterial infections. *J Pept Sci* 2015;21:323-9. doi. 10.1002/psc.2708.
9. Li Y. Recombinant production of antimicrobial peptides in *Escherichia coli* a review. *Protein Exp Pur*2011;80:260-7. doi.10.1016/j.pep.2011.08.001.
10. Ding J L, Ho B. inventors; Google Patents, assignee. Sushi peptide multimer patent. 2010;US7763704B2.
11. Leptihn S, Guo L, Frecer V, Ho B, Ding J L, Wohland T. One step at a time action mechanism of Sushi1 antimicrobial peptide and derived molecules. *Virulence* 2010;1:42-4. doi.10.4161/viru.1.1.10229.
12. Asoodeh A, Zardini H Z, J C. Identification and characterization of two novel antimicrobial peptides, temporin-Ra and temporin Rb from skin secretions of the marsh frog *rana ridibunda*. *J Pept Sci*2012; 18:10-6. doi.10.1002/psc.1409.
13. Přistoupil TI, Kramlová M, Štěrbíková J. On the mechanism of adsorption of proteins to nitrocellulose in membrane chromatography. *J Chromatograph*1969; 42:367-75. doi.10.1016/S0021-9673(01)80636-1.
14. Tang RH, Li M, Liu LN, Zhang SF, Alam N, You M, Ni YH, Li ZD. Chitosan modified nitrocellulose membrane for paper based point of care testing. *Cellulose*2020;27:3835-46. doi.10.1007/s10570-020-03031-x.
15. Wiegand I, Hilpert K, Hancock RE. Agar and broth dilution methods to determine the minimal inhibitory concentration of antimicrobial substances. *Nature Prot* 2008 ;3:163-75. doi. 10.1038/nprot.2007.521.
16. Markossian S, Grossman A, Brimacombe K, Arkin M, Auld D, Austin CP, et al. Assay guidance manual bethesda. 1th ed. Comp National Cent Adv Trans Sci Publication. 2004;P.33-86.
17. Ding JL, Li P, Ho B. The Sushi peptides structural characterization and mode of action against Gram negative bacteria. *Cell Mol Life Sci*2008;65:1202-19. doi.10.1007/s00018-008-7456-0.
18. Leptihn S, Guo L, Frecer V, Ho B, Ding JL, Wohland T. One step at a time: Action mechanism of Sushi1 antimicrobial peptide and derived molecules. *Virulence*2010;1:42-4. doi. 10.4161/viru.1.1.10229.
19. Leptihn S, Har JY, Chen J, Ho B, Wohland T, Ding JL. Single molecule resolution of the antimicrobial action of quantum dot labeled sushi peptide on live bacteria. *BMC Biolo* 2009;7:1-3. doi.10.1186/1741-7007-7-22 .
20. Li P, Sun M, Wohland T, Ho B, Ding JL. The molecular mechanism of interaction between sushi peptide and *Pseudomonas* endotoxin. *Cell Mol Immunol*2006;3:21-8.
21. Ding JL, Zhu Y, Ho B. High-performance affinity capture removal of bacterial pyrogen from solutions. *J Chromatograph Biomed Sci Appl* 2001;759:237-46. doi.10.1016/S0378-4347(01)00227-4.
22. Ding J, Ho B, Tan N, inventors. Recombinant proteins and peptides for endotoxin biosensors endotoxin removal and anti microbial and anti endotoxin. *Therapeutics*2003;3:213-8.
23. Zhang SK, Song JW, Gong F, Li SB, Chang HY, Xie HM, et al. Design of an helical antimicrobial peptide with improved cell-selective and potent anti biofilm activity. *Sci Rep* 2016;6:1-3. doi.10.1038/srep27394.
24. Lee M, Bang K, Kwon H, Cho S. Enhanced antibacterial activity of an attacin-coleoptericin hybrid protein fused with a helical linker. *Mole Biol Rep* 2013;40:3953-60. doi.10.1007/s11033-012-2472-4
25. Lorenzini DM, Silva JRPI, Fogaca AC, Bulet P, Daffre S. Acanthoscurrin a novel glycine rich antimicrobial peptide constitutively expressed in the hemocytes of the spider acanthoscurria gomesiana. *Deve Comp Immunol*2018 ,27:781-91.

- doi:10.1016/S0145-305X(03)00058-2.
- 26. Park CJ, Park CB, Hong SS, Lee HS, Lee SY, Kim SC. Characterization and cDNA cloning of two glycine and histidine-rich antimicrobial peptides from the roots of shepherd's purse *Capsella bursa-pastoris*. *Plant Mole Biol* 2000;44:187-97. doi:10.1023/a:1006431320677.
 - 27. Sperstad SV, Haug T, Vasskog T, Stensvåg K. Hyastatin, a glycine-rich multi-domain antimicrobial peptide isolated from the spider crab (*Hyas araneus*) hemocytes. *Molecular Immunology*. 2009 Aug 1;46(13):2604-12. doi: <https://doi.org/10.1016/j.molimm.2009.05.002>.
 - 28. Ding JL, Ho B. Inventors assignee sushi peptides. 1th ed. Multimer Publication. 2005;P.245-66.
 - 29. Ding JL, Ho B, Inventors assignee sushi peptides. 3th ed. Multimer Publication. 2010;P.133-72.
 - 30. Rao X, Hu J, Li S, Jin X, Zhang C, Cong Y, et al. Design and expression of peptide antibiotic hPAB-β as tandem multimers in *Escherichia coli*. *Peptides* 2005;26:721-9. doi: 10.1016/j.peptides.2004.12.016